

بررسی اثرات تجویز نوزادی تاموکسیفین و زیرالنون بر ساختار غدد پستانی موش سوری ماده

هاجره کلکلی^۱، رحمت الله پرنده‌نی^۲، مرتضی بهنام رسولی^{*}^۳، ناصر مهدوی شهری^۱، معصومه خیرآبادی^۱، خدیجه صداقت^۱

(۱) گروه زیست شناسی، دانشکده علوم، دانشگاه فردوسی مشهد، مشهد، ایران
(۲) گروه زیست شناسی، دانشگاه پیام نور، تهران، ایران

تاریخ پذیرش: ۹۵/۱۰/۴

تاریخ دریافت: ۹۵/۴/۱۹

چکیده

مقدمه: مواجهه با ترکیبات شبہ استروژنی در طی دوره های بحرانی از تکوین به ویژه در دوره نوزادی می تواند اثرات زیان آوری را بر بافت پستان در مراحل بعدی زندگی داشته باشد. در این تحقیق، اثرات تیمار نوزادی داروی آنتی استروژن تاموکسیفین و استروژن قارچی زیرالنون بر برخی شاخصه های بافت شناسی غده پستان در موش سوری ماده بررسی گردید.

مواد و روش ها: ۲۰ نوزاد موش سوری ماده از نژاد BALB/c به ۴ گروه شامل سه گروه تیماری و یک گروه کنترل(بدون تیمار) تقسیم شدند. گروه های تیماری شامل گروه تیمار با تاموکسیفین(۴۰۰ µg/kg/day)، گروه تیمار با زیرالنون(۲ mg/kg/day) و گروه تیمار با تاموکسیفین+زیرالنون بودند. تیمارها به صورت روزانه از روز ۱ تا ۵ پس از تولد و به صورت تزریق زیر جلدی صورت گرفت. سپس در حدود ۷۰ روز پس از تولد موش ها عمیقاً بیهوش شده و پستان از بدن خارج گردید. به دنبال رنگ آمیزی، نمونه ها با استفاده از میکروسکوپ نوری و الکترونی گذاره مورد بررسی بافتی قرار گرفتند.

یافته های پژوهش: نتایج نشان داد گروه تیمار با تاموکسیفین موجب کاهش ضخامت اپی تلیوم مجرای شیری و حجم نوک پستان می شود($P<0.05$). در گروه تیمار با زیرالنون و گروه تیمار با تاموکسیفین+زیرالنون در مقایسه با گروه کنترل، ضخامت اپی - تلیوم و حجم نوک پستان تفاوت معنی داری مشاهده نگردید. بررسی ساختار مجرای شیری غدد پستانی در سطح میکروسکوپ الکترونی حاکی از اثرات تخربی تیمار نوزادی تاموکسیفین بر ساختار اپی تلیوم مجرای شیری بود.

بحث و نتیجه گیری: نتایج مطالعه حاضر نشان می دهد که تجویز نوزادی تاموکسیفین بر غدد پستانی اثرات آنتی استروژنی اعمال می کند و از رشد طبیعی بافت پستان جلوگیری می نماید، اما زیرالنون نتایج زیان آوری را بر بافت پستان اعمال نمی کند.

واژه های کلیدی: غدد پستانی، تاموکسیفین، زیرالنون، استروژن، موش سوری

* نویسنده مسئول: گروه زیست شناسی، دانشگاه فردوسی مشهد، مشهد، ایران

Email: behnam@um.ac.ir

Copyright © 2017 Journal of Ilam University of Medical Science. This is an open-access article distributed under the terms of the Creative Commons Attribution international 4.0 International License (<https://creativecommons.org/licenses/by-nc/4.0/>) which permits copy and redistribute the material, in any medium or format, provided the original work is properly cited.

مقدمه

تاموکسیفین یک داروی آنتی استروژن می باشد که به طور وسیعی در درمان اندوکرینی در همه مراحل درمان سرطان پستان زنان به کار رفته است(۱۴،۱۵). هم چنین در درمان سرطان های کبد، مغز و پانکراس مورد استفاده قرار می گیرد تاموکسیفین سطوح کلسترول خون را کاهش می دهد، موجب حفظ تراکم استخوان گردیده و اثر مهاری بر تمایز استئوکلاست های انسانی دارد. این مطالعات نشان می دهد که تاموکسیفین ممکن است کاربرد عمومی تری داشته باشد(۱۶،۱۷). مطالعات نشان داده اند که تاموکسیفین از راه مکانیسم های مختلفی که منجر به آپوپتوزیس می گردد، از تکثیر سلول های پستان در انسان و جوندگان جلوگیری می کند(۱۸،۱۹). علی رغم اثرات آنتی استروژنیک، تاموکسیفین همین طور دارای فعالیت استروژنیک به ویژه در رحم، هیپوتalamوس و دستگاه تولید مثلی می باشد(۲۰،۲۱).

زیرالنون یک مایکوتوكسین(سم قارچی) استروژنیک غیراستروژنیک است که به وسیله بسیاری از گونه های قارچ فوژاریوم تولید می شود. زیرالنون به طور وسیعی در سراسر جهان به عنوان آلوده کننده بسیاری از محصولات کشاورزی از قبیل ذرت، گندم، جو، برنج و سایر غلات شناخته می شود(۲۲-۲۴). مطالعات نشان داده اند که حضور این ترکیبات در محصولات غذایی انسان و دام ها به عنوان یک عامل بالقوه زیان آور بر سلامتی به ویژه سلامتی تولید مثلی گزارش شده است(۲۵،۲۶). همین طور برخی گزارشات نشان داده اند که تجویز زیرالنون احتمال بروز سرطان پستان را افزایش می دهد(۲۷،۲۸).

مطالعات در جوندگان نشان داده اند که در طی دوره نوزادی که یک دوره بسیار حساس هورمونی می باشد، اندام پستان به شدت نسبت به ترکیبات شبه استروژنی حساس و آسیب پذیر می باشد و احتمال بروز اختلالات در بافت پستان افزایش می یابد(۷-۱۱). لذا در این تحقیق اثرات تجویز نوزادی زیرالنون و تاموکسیفین بر تغییرات هیستولوژیکی غدد پستانی موش های آزمایشگاهی ماده بررسی گردید.

سرطان پستان شایع ترین نوع سرطان در بین زنان کشورهای در حال توسعه و دومین سرطان پس از سرطان ریه در زنان کشورهای توسعه یافته می باشد. این سرطان مسئول ۱۰/۴ درصد تمام سرطان های زنان و ۲۰ درصد مرگ و میر ناشی از سرطان می باشد(۲۱). مطالعات انجام شده نشان می دهد که در ایران نیز مانند بسیاری از کشورهای در حال توسعه و پیشرفت، از جهت سرطان های زنان، سرطان پستان، شایع ترین سرطان زنان بوده و دارای رتبه اول در کشور می باشد(۳). با وجود افزایش تعداد زنان مبتلا به سرطان پستان هنوز عوامل ایجادکننده آن به درستی شناسایی نشده اند. در حقیقت افزایش شیوع سرطان پستان در میان زنان جهان نیازمند یک تئوری محکم در جهت تشخیص عوامل موثر در افزایش ابتلاء به سرطان پستان میسر می باشد(۴،۵). آن چه مشخص است این است که سرطان پستان یک بیماری ژنتیکی می باشد که عوامل محیطی و هورمونی تا حد زیادی در ایجاد آن دخالت می کنند و انسان به مقدار زیادی در معرض عوامل سرطانزای موجود در غذا، آب، هوا و مواد شیمیایی و طبیعی می باشد(۶). مطالعات در جوندگان آزمایشگاهی نشان داده اند که افزایش سطوح استروژن درونزاد یا دی اتیل استیل بسترونول(نوعی استروژن سنتتیک) در چند روز اول پس از تولد یا در دوره جنینی، هر دو غدد پستانی و دستگاه تولید مثل را مستعد اختلالات تکوینی کرده و خطر شیوع سرطان پستان را افزایش می دهد(۷-۱۰). رشد، ریخت شناسی و تمایز غدد پستانی در طی دوره تکوینی پس از تولد به وسیله تعادل هورمون های مختلفی تنظیم می گردد(۱۱). هورمون های جنسی تخدمان به ویژه استروژن ها یک نقش کلیدی را در این فرایند ایفا می کنند، طوری که در رشد و تشکیل غدد پستانی و همین طور در پیشرفت غدد پستانی به سمت نئوپلازی نقش مهمی می کنند(۱۲). مطالعات نشان داده اند که تکوین غدد پستانی جوندگان در چند روز اول پس از تولد، هم ارز(anlage) دوره پایانی زندگی جنینی در انسان می باشد(۱۳).

انتخاب شود. بعد از آن یک شبکه نقطه‌ای که بر روی آن تعدادی نقاط به طور یکنواخت و با فواصل برابر قرار گرفته بر روی برش‌ها قرار داده می‌شود و تعداد نقاط واقع بر روی منطقه مورد نظر شمارش می‌گردد. بدین ترتیب مجموع وسعت و یا سطح مقطع های آن منطقه روی تمام برش‌ها محاسبه می‌شود و به دنبال آن طبق فرمول شماره ۱ زیر حجم بخش‌های مورد نظر محاسبه می‌گردد(۲۹).

$$V = D \times \sum A$$

V : حجم کلی، D : فاصله بین برش‌ها، $\sum A$: مجموع مساحت سطح مقطع که از فرمول شماره ۲ به دست می‌آید.

$$\sum A = \sum P \times a \quad (p)$$

$\sum P$: تعداد نقاط شمارش شده روی کل سطح مقطع نمونه‌ها، (p) : مساحت مربوط به هر نقطه. برای اندازه گیری ضخامت اپی تلیوم عدد پستانی، ابتدا تصاویری با بزرگ نمایی $X 40$ و $X 100$ تهیه گردید، سپس طلق شفاف دارای خطوط مورب، روی هر تصویر قرار داده شد. در تصاویر مربوط به غدد پستانی، به طور تصادفی خطوطی که از اپی تلیوم عبور می‌کنند جهت اندازه گیری ضخامت اپی تلیوم استفاده می‌شود. در ادامه با استفاده از نرم افزار Image J طول خط مورد نظر اندازه گیری گردید.

در تعدادی از نمونه‌ها جهت بررسی کیفی و دقیق تر تغییرات ریخت شناسی و مجاری غدد پستانی از میکروسکوپ الکترونی نیز استفاده شد. آماده سازی نمونه‌ها در آزمایشگاه مرکزی دانشگاه فردوسی مشهد با استفاده از رنگ آمیزی آبی تولوئیدین و توسط کارشناس مربوطه انجام گرفت. سپس نمونه‌ها با میکروسکوپ الکترونی گذاره مشاهده و تصویربرداری شد.

تمام داده‌ها به کمک نرم‌افزار Graph pad prism و آنالیز یک طرفه ANOVA، مورد تحلیل آماری قرار گرفتند. مقایسه میانگین‌ها توسط Tukey's HSD test hoc انجام شد و نمودارها توسط نرم افزار Excel رسم گردید. سطح معناداری ($P < 0.05$) در نظر گرفته شد.

مواد و روش‌ها

در این مطالعه تجربی، تعداد ۲۰ نوزاد مosh سوری ماده از نژاد BALB/C به طور تصادفی و مساوی در ۴ گروه شامل یک گروه کنترل و ۳ گروه آزمایشی به صورت زیر قرار گرفتند: گروه کنترل(Con): بدون تیمار، گروه تاموکسی芬 با دوز ۲ mg/kg (TAX)، گروه زیرالنون با دوز ۲ mg/kg (ZEA) و گروه تاموکسی芬+زیرالنون (TAX+ZEA). ترکیبات در ۰/۰۵ میلی لیتر روغن کنجد حل شده و به روش زیرجلدی با استفاده از سرنگ همیلتون به پشت گردن نوزادان در روزهای ۱ تا ۵ پس از تولد و در هر روز یک نوبت تجویز شدند. همه نوزادان روزانه جهت تیمار دقیق و بررسی سلامتی حیوانات وزن شدند. همه حیوانات در شرایط استاندارد با دمای 21 ± 1 درجه سانتی گراد و ساعت روشناهی-تاریکی ۱۲ ساعته در حیوانخانه دانشکده علوم دانشگاه فردوسی مشهد نگهداری شدند. در این پژوهش کلیه نکات اخلاقی در رابطه با نگهداری و کار با حیوانات آزمایشگاهی مطابق با مقررات بین‌المللی اخلاق علمی و انجمن حمایت از حیوانات آزمایشگاهی در تمام مدت تحقیق رعایت گردید.

در حدود روز ۷۰ پس از تولد، مosh‌ها در مرحله دی استرسوس با تجویز کتامین/ازایلزین (شرکت آلفاسن هلند) عمیقاً بی هوش شده، سپس مosh‌ها با استفاده از فرمالین ۱۰ درصد (سیگما) از راه بطن چپ پرفیوژ و تثبیت شدند(۳۰). در ادامه غدد پستانی خارج شده و در فرمالین ۱۰ درصد برای مدت یک هفته در دمای ۴ درجه سانتی گراد مجدداً تثبیت شدند. پس از طی فرایندهای پردازش بافتی و تهیه برش‌های با ضخامت ۵ میکرومتر، نمونه‌ها با هماتوکسیلین و اتوزین رنگ آمیزی شده و با استفاده از میکروسکوپ نوری موردن بررسی قرار گرفتند.

جهت اندازه گیری حجم نوک پستان از تکنیک استریولوژی استفاده گردید، به گونه‌ای که نمونه مورد نظر (در این پژوهش غدد پستانی) به صورت برش‌های سیستماتیک موازی و با فاصله‌های (d) برش زده شد. آغاز برش گیری به صورت تصادفی است، هم چنین برش‌های بعدی باید با فاصله برابر از برش اول

نوک پستان در گروه آزمایشی تاموکسیفن کمتر است در حالی که مجرای شیری در گروه زیرالنون و تاموکسیفن+زیرالنون به طور مشخصی به سمت نوک پستان گسترش یافته است.

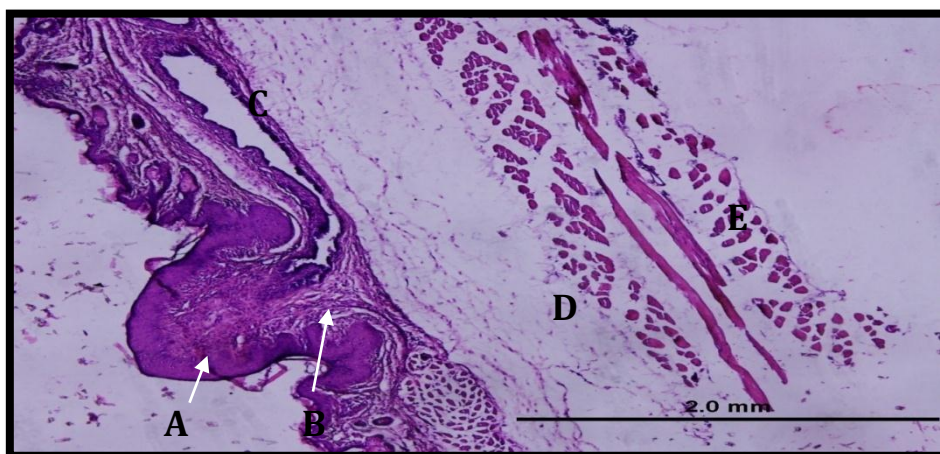
با توجه به تفاوت ساختاری مشهود نوک پستان در گروه تاموکسیفن نسبت به گروه کنترل در بررسی میکروسکوپ الکترونی گذاره فقط از گروه کنترل و گروه تاموکسیفن تصاویر میکروسکوپ الکترونی گذاره تهیه گردید. تصاویر تهیه شده از برش های نیمه نازک(شکل شماره ۳-C) نشان می دهد که در ساختار مجاري شيرى گروه کنترل، چند لایه سلولی از سلول های اپی تلیومی مشاهده می گردد سلول های اپی - تلیال با هسته های بزرگ، منظم و مکعبی مشاهده می شوند در حالی که در گروه تیمار با تاموکسیفن کاهاش ضخامت لایه سلول های اپی تلیومی مشاهده می گردد هم چنین سلول های اپی تلیال با هسته های کوچک و تحلیل رفته دیده می شود(شکل شماره ۴-C) به همین ترتیب تصاویر تهیه شده به کمک میکروسکوپ الکترونی گذاره نشان می دهد که در گروه کنترل، دیواره مجاري شيرى دارای سلول های اپی تلیال با هسته و هستک های طبیعی هستند علاوه بر این در مجاري شيرى غشای راسی سلول های اپی تلیال لومن مزرس چنین غشای راسی سلول های اپی تلیال با هسته سلول های دیده نمی شود(شکل شماره ۵-A). در حالی که در مجاري شيرى گروه تاموکسیفن علاوه بر کاهاش ضخامت لایه سلول های اپی تلیال، هسته سلول های اپی تلیال در معرض پدیده پیکنوتیک قرار دارند و غشای پایه مشخصی در این گروه دیده نمی شود هم چنین غشای راسی سلول های اپی تلیال لومن مزرس دیده می شود(شکل شماره ۶-A).

یافته های پژوهش

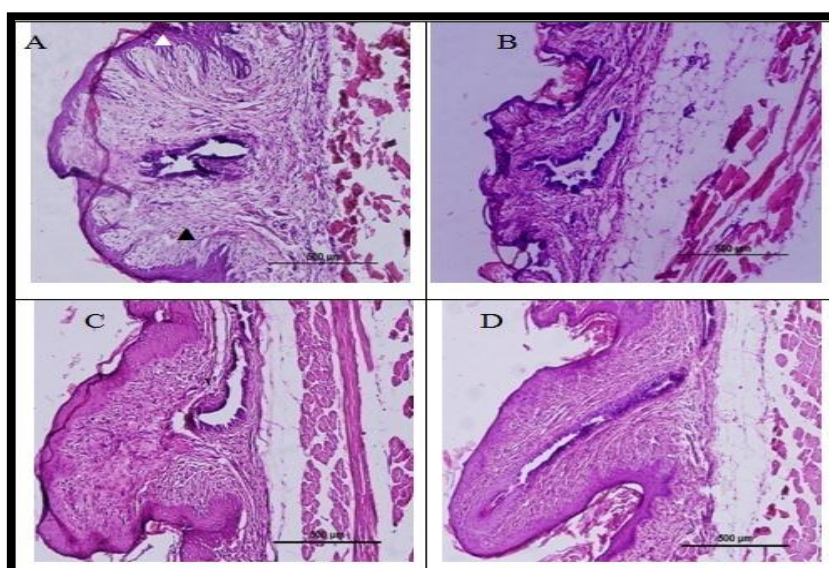
در شکل شماره ۱ ساختار یک غده پستانی در گروه کنترل نشان داده شده و در شکل شماره ۲ ساختار مقطع نوک پستان و ساختار بافتی آن در گروه های مختلف توسط میکروسکوپ نوری با یکدیگر مقایسه شده اند. هم چنان که مشاهده می گردد، در مقایسه با گروه کنترل، ساختار نوک پستان در گروه تیمار با تاموکسیفن ابتدائی است و نوک پستان دارای گردن متمايزی نمی باشد، در حالی که ساختار نوک پستان در گروه تیمار با زیرالنون و تاموکسیفن+زیرالنون به گروه کنترل نزدیک تر است و گردن نوک پستان تشکیل شده است. پیدایش گردن نتیجه تمایز، اندازایی و تشکیل نوک پستان در این گروه ها است.

در نمودار شماره ۱ مقایسه ضخامت اپی تلیوم نوک پستان در گروه های مختلف نشان داده شده است. در مقایسه با گروه کنترل، ضخامت اپی تلیوم نوک پستان در گروه تاموکسیفن به طور معناداری($P<0.05$) کمتر است. در گروه های زیرالنون و تاموکسیفن+زیرالنون در مقایسه با کنترل تفاوت معنی داری در ضخامت اپی تلیوم نوک پستان دیده نمی شود.

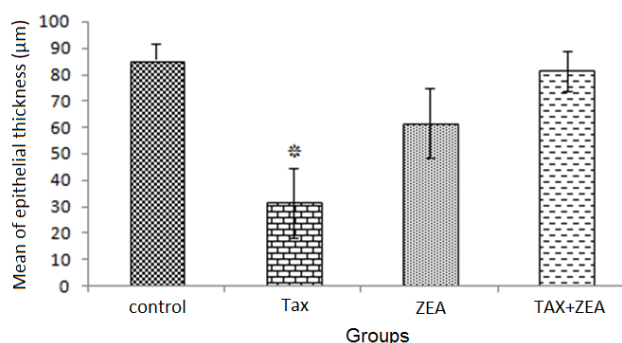
در نمودار شماره ۲ میانگین حجم نوک پستان در گروه های مختلف نشان داده شده است. هم چنان که مشاهده می شود حجم نوک پستان در گروه تاموکسیفن به طور معنی داری($P<0.05$) کمتر از گروه کنترل است. در گروه های زیرالنون و تاموکسیفن+زیرالنون در مقایسه با کنترل تفاوت معنی داری در اندازه گیری حجم نوک پستان مشاهده نگردید. در شکل شماره ۲ پیدایش و گسترش مجرای شیری در نوک پستان نیز با یکدیگر قابل مقایسه است. در مقایسه با گروه کنترل گسترش مجرای شیری به سمت



شکل شماره ۱. ساختار یک غده پستانی گروه کنترل با بزرگ نمایی ۱۰۰×: A: اپی تیلیوم نوک پستان، B: استرومای، C: مجرای، D: لایه چربی، E: لایه عضلانی شکم

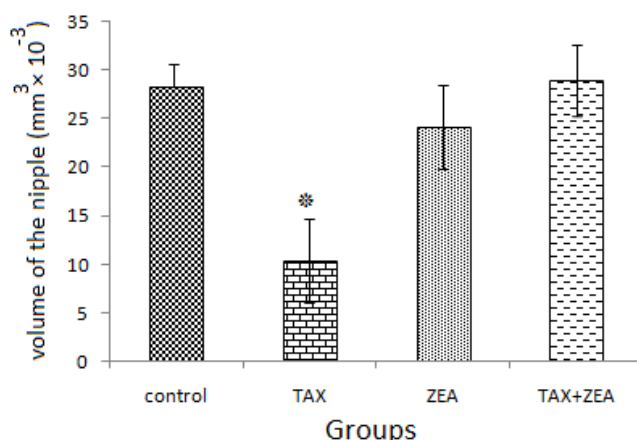


شکل شماره ۲. ساختار بافت شناسی و مقایسه اندازه زایی نوک پستان غدد پستانی در گروه های مختلف در روز ۷۰ پس از تولد در مرحله دی استروس. بزرگ نمایی در همه تصاویر ۱۰۰× است. (A: کنترل، B: تاموکسیفین، C: زیرالنون، D: تاموکسیفین+زیرالنون). نوک پیکان توخالی، اپی تیلیوم نوک پستان و نوک پیکان توبر، استرومای نوک پستان

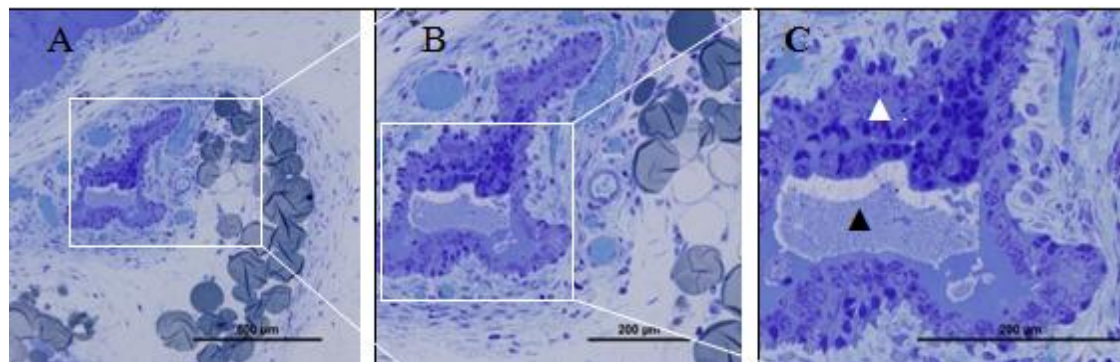


نمودار شماره ۱. مقایسه ضخامت اپی تیلیوم نوک پستان در گروه های مختلف در روز ۷۰ پس از تولد. نتایج به صورت میانگین±خطای استاندارد ارائه شده است (n=5). *P<0.05 (control).

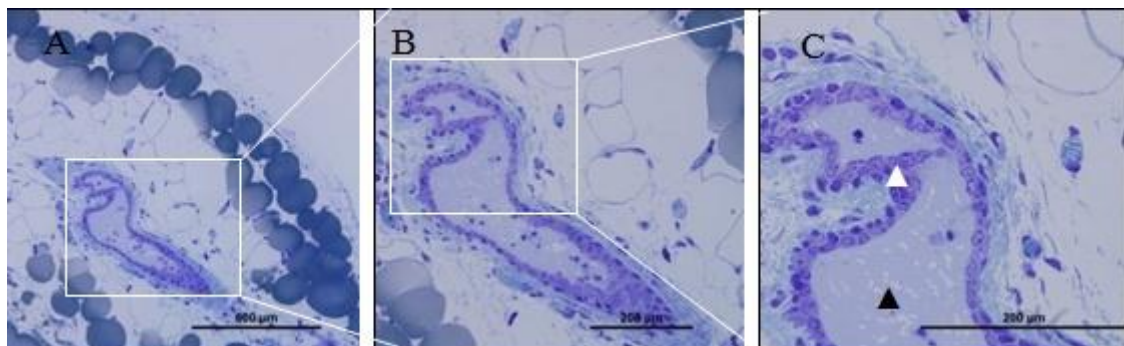
TAX: تاموکسیفین، ZEA: زیرالنون، TAX+ZEA: تاموکسیفین+زیرالنون



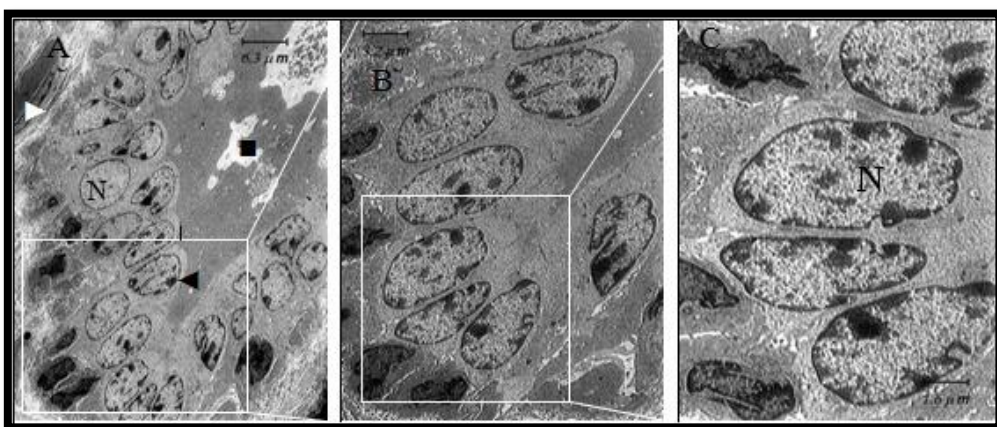
نمودار شماره ۲. بررسی حجم نوک پستان در گروه های مختلف در روز ۷۰ پس از تولد. نتایج به صورت میانگین \pm خطای استاندارد ارائه شده است ($n=5$). * $P<0.05$ مقایسه با گروه کنترل(TAX). TAX: تاموکسیفین، ZEA: زیرالتون، TAX+ZEA: تاموکسیفین+زیرالتون



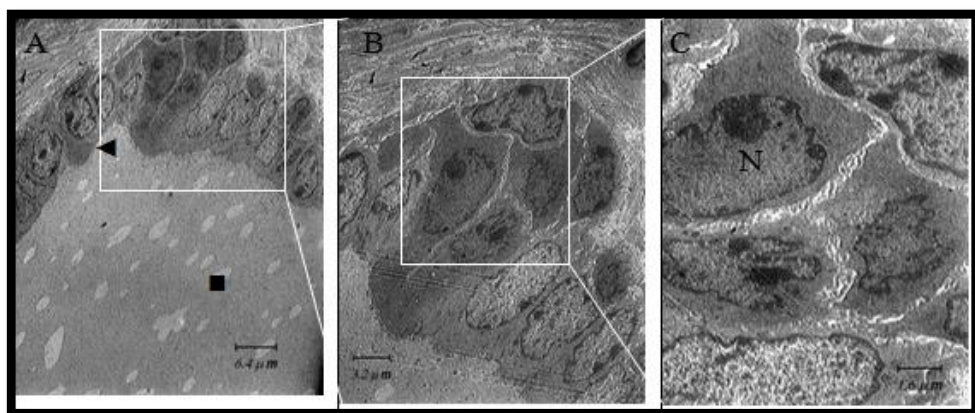
شکل شماره ۳. تصاویر تهیه شده از برش های نیمه نازک مجرای غدد شیری گروه کنترل(رنگ آمیزی آبی تولوئیدین)، بزرگ نمایی در A ۱۰۰، در B ۴۰۰ و در C ۲۰۰ است. نوک پیکان توپر، لومن مجرا و نوک پیکان توخالی، اپی تلیوم مجرا



شکل شماره ۴. تصاویر تهیه شده از برش های نیمه نازک مجرای غدد شیری گروه تاموکسیفین(رنگ آمیزی آبی تولوئیدین)، بزرگ نمایی در A ۱۰۰، در B ۴۰۰ و در C ۲۰۰ است. نوک پیکان توپر، لومن مجرا و نوک پیکان توخالی، اپی تلیوم مجرا



شکل شماره ۵. تصاویر تهیه شده به کمک میکروسکوپ الکترونی گذاره، از مجاری غدد شیری، گروه کنترل است. A: مربع توپر، لومن مجرای نوک پیکان توپر، سلول های اپی تلیال مجرای. نوک پیکان توخالی، غشای پایه. B: سلول های اپی تلیال مجرای. C: هسته سلول های اپی تلیال مجرای (N).



شکل شماره ۶. تصاویر تهیه شده به کمک میکروسکوپ الکترونی گذاره، از مجاری غدد شیری، گروه ناموکسیفن است. A: مربع توپر، لومن مجرای نوک پیکان توپر، سلول های اپی تلیال مجرای. B: سلول های اپی تلیال مجرای. C: هسته سلول های اپی تلیال مجرای (N).

تیمار شده می شود(۳۰). نتایج حاصل از مطالعات دیگری نشان می دهد که تجویز تاموکسیفن با دوز $100 \mu\text{g}/\text{kg}$ از رشد و تکوین آلوئولار در غدد پستانی جلوگیری می کند و موجب آتروفی مجاری شیری و ساختارهای لوبول-آلوفولار می گردد(۳۱,۳۲) که با مطالعه حاضر هم خوانی دارد. در همین راستا پژوهشی بر روی 40 موش صحرایی ماده تحت تجویز زیرجلدی تاموکسیفن با دوز $2/5 \text{ mg}/\text{kg}$ صورت گرفت. نتایج میکروسکوپ الکترونی گذاره حاکی از آن بود که تیمار با تاموکسیفن موجب پراکندگی کروماتین، بی نظمی در شکل و غشای هسته شده، که احتمالاً نشان دهنده مرگ سلولی ناشی از تجویز تاموکسیفن می باشد(۳۳).

بحث و نتیجه گیری

مطالعه حاضر در زمینه تغییرات بافت پستان به دنبال تیمار نوزادی داروی آنتی استروژنیک تاموکسیفن و سم استروژن قارچی زیرالنون بوده است. نتایج مطالعه حاضر نشان می دهد که تیمار نوزادی موش ها با ترکیب تاموکسیفن موجب کاهش ضخامت اپی تلیوم و حجم نوک پستان می شود. تصاویر حاصل از مطالعه میکروسکوپ نوری و الکترونی نیز حاکی از تحلیل بافت پستان در گروه تاموکسیفن می باشد. در این رابطه گزارش گردیده است که تیمار 30 روزه موش های صحرایی با تاموکسیفن، موجب توقف تکوین آلوئول های بافت غدد پستانی در 75 درصد حیوانات

فاکتور رشد تغییر شکل دهنده بتا(TGF- β) می باشد که به عنوان یک مولکول سیتوکین تنظیمی اتوکرین منفی از جمله در مهار رشد سلولی عمل می کند(۳۸). به علاوه مطالعات ایمونوھیستوشیمی نشان داده اند که تاموکسیفون سنتر TGF- β را در استروما(مزانشیم) سلطان پستان تحیریک می کند(۳۹). به علاوه مطالعات دیگر نشان داده اند که تاموکسیفون قادر به کم کردن سطوح فاکتور رشد شبه انسولین(IGF-I) که یک میتوژن قوی برای تکثیر سلول های پستان می باشد، در مبتلایان به سلطان پستان می باشد(۴۰،۴۱). مطالعات قبلی نشان داده اند که زیرالنون برای گیرنده آلفای استروژن یک آگونیست کامل و برای گیرنده بتای استروژنیک آگونیست جزیی است(۴۲). از طرف دیگر تاموکسیفون بر گیرنده بتای استروژن اثرات آنتاگونیستی و بر گیرنده آلفا اثرات آگونیستی اعمال می کند(۴۲). گزارشات قبلی نشان داده اند که اپی تلیوم بافت پستان بیشتر گیرنده های بتای استروژن را بیان می کند(۴۳،۴۴). بنا بر این به نظر می رسد تاموکسیفون در آن جا شبیه یک آنتاگونیست استروژن عمل می کند و از تکثیر سلول های اپی تلیالی در غدد پستانی جلوگیری می کند(۴۰). در سایر بافت ها مثل رحم، دستگاه تولیدمثلی، مغز، قلبی عروقی و استخوانی که در آن ها بیان گیرنده آلفای استروژن بیشتر است تاموکسیفون اثرات استروژن را تقلید می کند(۴۵،۴۶). بنا بر این ممکن است به خاطر وجود تعداد گیرنده های استروژن آلفا کمتر در مقایسه گیرنده های بتا در بافت پستان(۴۳،۴۴)، زیرالنون فعالیت شبه استروژنی ضعیفی را در این بافت از خود نشان بدهد. بر این اساس چنین به نظر می رسد که در عرصه رقابت بین اثرات آنتاگونیستی تاموکسیفون و اثرات آگونیستی زیرالنون در بافت پستان، زیرالنون می تواند اثرات آنتاگونیستی تاموکسیفون را در بافت پستان خنثی نماید. بر اساس نتایج به دست آمده از این مطالعه تجویز تاموکسیفون موجب کاهش ضخامت اپی تلیوم، کاهش حجم نوک و تحلیل بافت پستان می گردد. به نظر می رسد علت بروز این تغییرات مربوط به اثرات آنتی استروژنی تاموکسیفون در بافت پستان می باشد. در صورتی که با عدم تاثیر تجویز زیرالنون و تاموکسیفون+زیرالنون

نتایج حاصل از مطالعه حاضر نشان می دهد که تجویز زیرالنون(با دوز ۲ mg/kg) منجر به تغییرات اساسی در بافت پستان نمی گردد. در این رابطه گزارش شده است که تجویز زیرالنون در طی دوره حاملگی و ادامه تجویز آن تا روز پنجم پس از تولد به صورت وابسته به دوز موجب افزایش معنی دار تراکم سلول های اپی تلیوم، ضخامت آن و انشعابات مجاری غدد شیری می گردد(۴۴) که در مطالعه حاضر مشاهده نگردید. در عین حال در گزارشی دیگر اعلام گردیده است که تجویز پیش از بلوغ زیرالنون یا زرآنول(یک متابولیت حاصل از زیرالنون) تاثیری بر رشد غدد پستانی موش های ماده ندارد(۴۵) که با مطالعه حاضر مطابقت دارد. همین طور تجویز هم زمان تاموکسیفون+زیرالنون نیز نشان می دهد که اثرات تاموکسیفون بر بافت پستان توسط زیرالنون متوقف شده است که حاکی از آن است که زیرالنون، اثرات سوئی را بر بافت پستان اعمال نمی کند. مطالعات نشان داده اند که تاموکسیفون بسته به نوع بافت دارای هر دو اعمال استروژنیک و آنتی استروژنیک می باشد. تاموکسیفون در اپی تلیوم پستان اثرات آنتی استروژنیک دارد و لذا در درمان و جلوگیری از سلطان پستان به کار می رود(۴۶). در حالی که تاموکسیفون در اپیتلیوم رحم دارای فعالیت استروژنیک می باشد، و افزایش شیوع ابتلاء به ناهنجاری های اندومتریال(کارسینوما، سارکوما و هیپرپلازیا) در زنان تحت درمان با تاموکسیفون گزارش شده است(۴۷). تاموکسیفون از لحاظ شیمیایی خیلی شبیه به استرادیول می باشد اما تاموکسیفون در مقایسه با استرادیول دارای یک زنجیره بلند است که برای عملکرد آنتی استروژنی اش مهم است. در مطالعه ای نشان داده شده است که اتصال طولانی مدت تاموکسیفون به ژن های اختصاصی استروژن، در اپی تلیوم پستان قادر به کاهش فعالیت آنزیم DNA پلی مراز و تقلیل پاسخ استروژن گردد. مکانیسم عملکرد تاموکسیفون به دلیل ساختار مولکولی اش پیچیده است. روشن است که مکانیسم اصلی عملکرد تاموکسیفون از راه اتصال آن با گیرنده های استروژن و توقف عملکرد تکثیری هورمون استروژن در بافت پستان صورت می گیرد. یک مکانیسم پیشنهادی برای این نقش ضد تکثیری تاموکسیفون، القاء سنتز

سپاسگزاری

نتایج این تحقیق، حاصل پایان نامه دوره کارشناسی ارشد می باشد. بدین وسیله از زحمات حوزه معاونت پژوهشی به جهت حمایت مالی(گران特 شماره ۳/۳۸۰۹۸) و دانشکده علوم دانشگاه فردوسی مشهد تقدیر و تشکر می شود.

چنین استنباط می گردد که زیرالنون در بافت پستان فعالیت استروژنی ضعیفی از خود نشان می دهد. در مجموع چنین به نظر می رسد که تجویز نوزادی داروی آنتی استروژنیک تاموکسیفن، اثرات سوء پایداری را بر تکوین غدد پستانی اعمال می کند، در صورتی که ترکیب شبه استروژنیک زیرالنون اثرات سوئی را بر جای نمی گذارد.

References

- Sharma GN, Dave R, Sanadya J, Sharma P, Sharma KK. Various types and management of breast cancer: an overview. *J Adv Pharm Technol Res* 2010; 1:109-26.
- Howard JH, Bland KI. Current management and treatment strategies for breast cancer. *Curr Opin Obstet Gynecol* 2012; 24: 44-8.
- Enayatrad M. An investigation of changing patterns in breast cancer incidence trends among Iranian women. *J Sabzevar Uni Med Sci* 2015; 22: 27-35.
- Nojomi M, Mirfakhraee R, Hosseini N. [Relationship between hormonal factors and breast cancer]. *Hakim Res J* 2004; 7:19-25. (Persian)
- Furberg H, Newman B, Moorman P, Millikan R. Lactation and breast cancer risk. *Int J Epidemiol* 1999; 28:396-402.
- Garciaclosas M, Chanock S. Genetic susceptibility loci for breast cancer by estrogen receptor status. *Clin Cancer Res* 2008; 15: 8000-9.
- Hilakivi-Clarke L, Cho E, Raygada M, Kenney N. Alterations in mammary gland development following neonatal exposure to estradiol, transforming growth factor alpha and estrogen receptor antagonist ICI 182,780. *J Cell Physiol* 1997; 170: 279-89.
- Lopez J, Ogren L, Verjan R, Talamantes F. Effects of perinatal exposure to a synthetic estrogen and progestin on mammary tumorigenesis in Mice. *Teratology* 1998; 38: 129-34.
- Walker BE. Tumors in female offspring of control and diethyl stilbestrol-exposed mice fed high-fat diets. *J Natl Cancer Inst* 1990; 82: 50-4.
- Jones LA, Bern HA. Cervicovaginal and mammary gland abnormalities in balb/c crgl mice treated neonatally with progesterone and estrogen alone or in combination. *Cancer Res* 1979; 39: 2560-67.
- Imagawa W, Bandyopadhyay GK, Nandi S. Regulation of mammary epithelial cell growth in mice and rats. *Endocr Rev* 1990; 11: 494-523.
- Russo IH, Russo J. Role of hormones in mammary cancer initiation and progression. *J Mam Gland Biol Neoplas* 1998; 3: 49-61.
- Hovey RC, Trott JF, Vonderhaar BK. Establishing a framework for the functional mammary gland from endocrinology to morphology. *J Mam Gland Biol Neoplas* 2002;7: 17-38.
- Jordan VC, Morrow M. Tamoxifen, raloxifene and prevention of breast cancer. *Endocrine Rev* 1999; 20: 253-78.
- Elwood VJ, Jordan VC. The estrogen receptor a model for molecular medicine. *Clin Cancer Res* 2003; 9: 1980-89.
- Lerner LJ, Jordan VC. The development of antiestrogens for the treatment of breast cancer. *Cancer Res* 1990; 50: 4177-89.
- Michael H, Harkonen PL, Kangas L, Vaananen HK, Hentunen TA. Differential effects of selective oestrogen receptor modulators Tamoxifen ospemifene and raloxifene on human osteoclasts in vitro. *British J Pharmacol* 2007; 151:384-95.
- Warri AM, Huovinen RL, Laine AM, Martikainen PM, Harkonen PL. Apoptosis in toremifene induced growth inhibition of human breast cancer cells in vivo and in vitro. *J Natl Cancer Inst* 1993; 85: 1412-18.
- Huovinen RL, Warri AM, Collan Y. Mitotic activity, apoptosis and TRPM-2 mRNA expression in DMBA-induced Rat mammary carcinoma treated with anti-estrogen toremifene. *Int J Cancer* 1993; 55: 685-91.

20. Parandin R, Behnam - rassouli M, Mahdavi , Shahri N. Oestrogenic action of neonatal tamoxifen on the hypothalamus and reproductive system in female mice. *Reprod Fertil Dev* 2016; RD15361.
21. Jones ME, van Leeuwen FE, Hoogendoorn WE, Mourits MJ, Hollema H, van Boven H, et al. Endometrial cancer survival after breast cancer in relation to tamoxifen treatment: pooled results from three countries. *Breast Cancer Res* 2012; 14: 91.
22. Rhyn P, Zoller O. Zearalenone in cereals for human nutrition relevant data for the Swiss population. *Eur Food Res Tech* 2003; 216: 319-22.
23. Zinedine A, Soriano JM, Molto JC, Manes J. Review on the toxicity occurrence metabolism detoxification regulations and intake of Zearalenone an oestrogenic mycotoxin. *Food Chem Toxicol* 2007; 45: 1-18.
24. Belhassen H, Jimenez Diaz, Arrebola JP, Ghali R, Ghorbel H, Olea N, Hedili A. Zearalenone and its metabolites in urine and breast cancer risk a case control study in Tunisia. *Chemosphere* 2015; 128: 1-6.
25. Zhao F, Li R, Xiao S, Diao H, Viveiros MM, Song X, Ye X. Postweaning exposure to dietary zearalenone, a mycotoxin, promotes premature onset of puberty and disrupts early pregnancy events in female Mice. *Toxicol Sci* 2013; 132: 431-42.
26. Lorond T, Vigh E, Garai J. Hormonal action of plant derived and anthropogenic non-steroidal estrogenic compounds phytoestrogens and xenoestrogens. *Curr Med Chem* 2010; 17: 3542-74.
27. Finkgremmels J, Malekinejad H. Clinical effects and biochemical mechanisms associated with exposure to the mycoestrogen Zearalenone. *Anim Feed Sci Technol* 2007; 137: 326-41.
28. Parandin R, Behnam Rassouli M, Sisakhtnezhad S, Mahdavishahri N. Invitro evaluation of the effects of Zearalenone and α -Zearalenol on MCF-7 and MDA-MB-468 cell lines of human breast cancer. *Razavi Int J Med* 2015; 3:30231.
29. Mandarim C. A stereological tools in biomedical research. *Anais Acad Brasil Cien* 2003; 75: 469-86.
30. Hattar R, Maller O, McDaniel S, Hansen KC, Hedman KJ, Lyons TR, et al. Tamoxifen induces pleiotrophic changes in mammary stroma resulting in extracellular matrix that suppresses transformed phenotypes. *Breast Cancer Res* 2009; 11:5.
31. Sourla A, Luo S, Labrie C, Belanger A, Labrie F. Morphological changes induced by 6-month treatment of intact and ovariectomized Mice with Tamoxifen and the pure antiestrogen EM-800. *Endocrinology* 1997; 138:5605-17.
32. Hovey RC, Asaisato M, Warri A, Terrykoroma B, Colyn N, Ginsburg E, et al. Effects of neonatal exposure to diethylstilbestrol Tamoxifen and toremifene on the balb/c Mouse mammary gland. *Biol Reprod* 2005; 72:423-35.
33. Abdelmeguid N, Mostafa M, Abdelmoneim A, Badawi A, Abouzeinab N. Tamoxifen and melatonin differentially influence apoptosis of normal mammary gland cells ultrastructural evidence and p53 expression. *Int J Canc Res* 2008; 4:81-91.
34. Belli P, Bellaton C, Durand J, Balleydier S, Milhau N, Mure M, et al. Fetal and neonatal exposure to the mycotoxin zearalenone induces phenotypic alterations in adult Rat mammary gland. *Food Chem Toxicol* 2010; 48: 2818-26.
35. Nikaido Y, Danbara N, Tsujitakyutoku M, Yuri T, Uehara N, Tsubura A. Effects of prepubertal exposure to xenoestrogen on development of estrogen target organs in female CD-1 Mice. *Invivo* 2005; 19: 487-94.
36. Fughberman A, Epstein S. Tamoxifen disease prevention or disease substitution. *Lancet* 1992; 340:1143-5.
37. Jordan VC. 1th ed. Long term Tamoxifen treatment for breast cancer. Madison Uni Wisconsin Publication. 1994; P.289.
38. Knabbe C, Lippman ME, Wakefield LM. Evidence that TGF- β is a hormonally regulated negative growth factor in human breast cancer cells. *Cell* 1987; 48: 417-28.
39. Butta A, MacLennan K, Flanders KC. Induction of transforming growth factor β 1 in human breast cancer in vivo following tamoxifen treatment. *Cancer Res* 1992; 52: 4261-4.
40. Colletti RB, Roberts JD, Devlin JT, Copeland KC. Effect of Tamoxifen on plasma insulin like growth factor I in patients with breast cancer. *Cancer Res* 1989; 49: 1882-4.

41. Pollak MJ, Costantino C, Polychronakos SA. Effect of tamoxifen on serum insulin-like growth factor I levels in stage I breast cancer patients. *J Natl Cancer Inst* 1990; 82: 1693-7.
42. Hall JM, McDonnell DP. The estrogen receptor beta-isoform of the human estrogen receptor modulates ERalpha transcriptional activity and is a key regulator of the cellular response to estrogens and antiestrogens. *Endocrinology* 1999; 140: 5566-78.
43. Speirs V, Skliris GP, Burdall SE, Carder PJ. Distinct expression patterns of ER alpha and ER beta in normal human mammary gland. *J Clin Pathol* 2002; 55: 371-4.
44. Palmieri C, Cheng GJ, Saji S, Zeladahedman M, Warri A, Weihua Z, Vannoorden S, et al. Estrogen receptor beta in breast cancer. *Endocr Relat Cancer* 2002; 9:1-13.
45. Pinilla L, Barreiro ML, Gonzalez LC, Tenasempere M, Aguilar E. Comparative effects of testosterone propionate oestradiol benzoate, ICI 182,780, tamoxifen and raloxifene on hypothalamic differentiation in the female Rat. *J Endocrinol* 2002; 172: 441-8.
46. Garciaibecerra R, Santos N, Diaz L, Camacho J. Mechanisms of resistance to endocrine therapy in breast cancer: focus on signaling pathways miRNAs and genetically based resistance. *Int J Mol Sci* 2013; 14: 108-45.

Investigating the Effect of Neonatal Exposure of Tamoxifen and Zearalenone on Mammary Gland structure in Female Mouse

Kalkali H¹, Parandin R², Behnamrassouli M^{1*}, Mahdavishahri N¹, Kheirabadi M¹, Sedaghat KH¹

(Received: July 9, 2016)

Accepted: December 24, 2016)

Abstract

Introduction: Exposure to estrogen like chemicals during critical periods of development particularly in the neonatal period can disrupt normal patterns of mammary tissue development later in life. In this study, the effects of neonatal exposure of tamoxifen anti-estrogen and zearalenone mycoestrogen on some histological characteristics of mammary gland in female mouse were investigated.

Materials & Methods: Twenty newborn female mice of BALB/c strain were divided into four groups: three experimental and one control group (with no treatment). Treatment groups included Tamoxifen (400 µg /kg /day) group, Zearalenone treatment group (2 mg /kg /day) and group treated with tamoxifen+zearalenone treatment group. Daily treatments were started on the first day of life and continued up to 5 subcutaneously. Then about 70 days after birth, mice were deeply anesthetized and the mammary tissue was removed from the body. Following histochemical staining, the

samples were studied using light and transmission electron microcopies.

Findings: The result showed that epithelial thickness of milk duct and volume of the nipple in tamoxifen treatment group significantly ($p<0.05$) reduced. In contrast, the thickness of the epithelium and the nipple volume in tamoxifen+zearalenone and zearalenone treatment groups showed no significant difference in comparison with control. The electron microscopy of nipple duct showed negative effects of Tamoxifen on epithelium of milk duct.

Discussion & Conclusions: The results of this study show that neonatal administration of tamoxifen probably exerts anti-estrogenic effects and it prevents the normal development of mammary tissue, but zearalenone do not have adverse consequences on mammary tissue.

Keywords: Mammary gland, Tamoxifen, Zearalenone, Estrogen, Mice

1. Dept of Biology, Faculty of Sciences, Ferdowsi University of Mashhad, Mashhad, Iran

2. Dept of Biology, Payame Noor University, Tehran, Iran

*Corresponding author Email: behnam@um.ac.ir